

京都市立伏見工業高等学校 正 安川 郁夫

1. はじめに

粘土の圧密特性を示す指標のうち、有効応力に関する圧縮性を示す指標として圧縮指数 C_c か、時間に関する圧縮性を示す指標として二次圧密係数 C_a が用いられる。これらの指標は粘土の構造や塑性と密接な関係にあり、 C_c と C_a の相関関係は、長期観下を予測する上で、また、土の構成関係を推定する上で重要な値である。Mesri らはいかなる自然土に対しても C_a と C_c の間に唯一の関係が存在し、 C_a/C_c は 0.025 ~ 0.10 の範囲内にあることを示している¹⁾。すでに、著者は種々の塑性を有する粘性土について、標準圧密試験の結果から得られる C_a と C_c の相関は、それぞれの粘土について唯一決まるここと、また、その相関性は塑性に応じて模式化して分類されることを明らかにした²⁾。また、土の塑性と初期状態を含む指標としての液性指数 I_L と C_a/C_c との間にユニークな関係があることも示した²⁾。以下は、すでに公表されている圧密諸指標とコンシスティンシーのデータから、圧密諸指標とコンシスティンシーに関する諸指標との相関性を調べるとともに考察を行つたものである。

2. 塑性指数 I_p と C_c , C_a の相関

I_p と強度特性との相関性はかなり明らかにされているが、圧密特性との相関を論じられているケースは比較的少ない。 C_c については、液性限界 WL との相関性が明らかにされ、実験式がいくつか提案されている³⁾。また、 C_a については自然含水比との相関性が明らかにされており⁴⁾、また、 I_L との相関性について明らかにされており⁵⁾。ここでは、公表されているデータから I_p と C_c , C_a の相関を調べてみる。

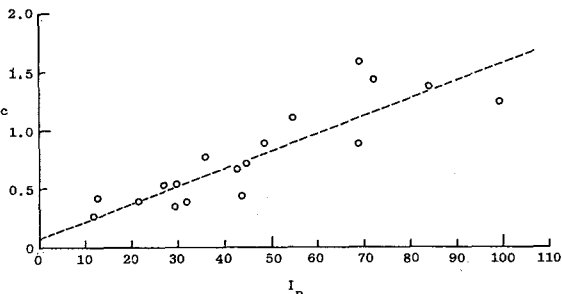
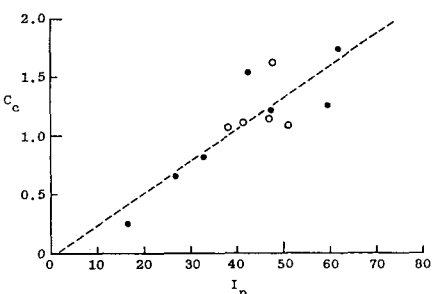
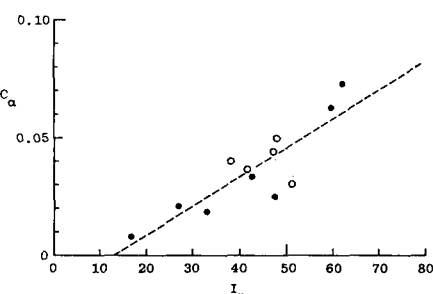
図-1 C_c と I_p の相関 (港湾地域の沖積粘性土)

図-1 は、文献6)に示されているわが国の港湾地域の沖積粘性土の C_c と I_p の関係を示したものである。 C_c と I_p との間に相関性がみられ I_p が大なるほど C_c が大きくなることがわかる。図-2, 3 は、文献7)に示されている大阪湾泉州沖海底地盤における C_c と I_p の関係および C_a と I_p の関係を示したものである。図中の点の内、●は沖積粘土を、○は沖積粘土(以下の図も同様)を示している。

文献7)における C_c は標準圧密試験において $e - \log P$ 曲線の最急勾配から求められたものである。これに対し、 C_a は長期圧密試験を行つて求められており、各荷重段階で C_a の値は異なるとともに時間的に変化していくものであるため、与えられている C_c に対応するよう、圧密降伏応力より次に高い荷重段階のもとでの圧密で、24 時間後 C_a に対応する 10^3 min 後の C_a を用いた。

図-2, 3 からわかるように、 C_c , C_a とも I_p との相関性があり、いずれも I_p が大きくなるに従つて比例して大きな値になっていくことがわかる。しかし、 I_p と C_a/C_c との相関性をみに図-4 から、 C_a/C_c は I_p と相関性が見られず、 I_p に対して一定であると考えてよい傾向を示している。

図-2 C_c と I_p の相関図-3 C_a と I_p の相関

3. 液性指数 I_L と C_c, C_a の相関

I_L と非排水強度や練り返し圧強度との相関性が明らかにされてゐるが、粘土の強度は塑性の大ささとともに初期状態が重要なファクターとなる。これらの要因を含むコンシステンシー特性としての I_L がよく用いられるが、 I_L と C_c, C_a との相関を文献7)のデータにもとづいて調べたのが図-5, 6 である。 C_c は I_L との相関性は見られず、これに対し C_a は I_L との相関性が明らかである。つまり、 C_c は粘土の初期状態に關係なく塑性のみに關係していると考えられる。これは、すでに明らかにされている C_c と I_L の比例關係と等価であると考えられる。これに対し、 C_a は I_L とともに I_L とも相関性を有し、 C_a は塑性のみでなく粘土の初期状態によつても影響される指標と考えられる。

次に C_c/C_a と I_L との関係を調べたのが図-7である。 I_L の小さな洪積粘土の3つのデータを除いて C_c/C_a と I_L とはユニークな關係が存在することがわかる。線形性からはずれる3つのデータはかなり大きな土ひびき圧を受けていた洪積粘土で、サンプリングにともなう膨潤や不飽和の影響、 C_c と C_a の測定対応点の相違などの種々の要因が考えられ、 I_L のかなり小さな領域においては、その相関性からはずれてものと推定される。図-7には著者かすでに求めた C_c/C_a と I_L との關係²⁾を細い破線であげて示した。実験式を求めるには、エラにデータの蓄積が必要であるが、 C_c/C_a と I_L の相関性は明らかである。

4. おとがき

粘土のコンシステンシー特性としての I_p, I_L と圧密特性としての C_c, C_a の相関性を調べた以上の内容から次のふうにまとめられる。

①. C_c は I_p とユニークな關係にあり、 I_p が大なるほど C_c は大きくなる。しかし、 I_L とは相関性がなく、 C_c は初期状態には關係なく塑性の大小のみで決まる値と推定される。

②. C_a は I_p とともに I_L とも相関性がある。 C_a は塑性の大小とともに初期状態によつて変化する値である。

③. C_c/C_a は I_p と相関性なく、 I_L とユニークな關係にある。

以上の研究に対し親切な御指導をいたされた京都大学工学部助教授嘉門雅史先生に心より謝意を表します。また、有益な助言をいたしました西日本工業大学教授安原一哉先生にあわせて心より謝意を表します。

[参考文献]

- 1). Mesri, G., M. Godlewski : Time- and Stress- Compressibility Interrelationship, ASCE, Vol. 103, GT5, 1977
- 2). 安川：粘土の二次圧密特性についての考察(第2報), 第18回国土工学会, 1983.
- 3). 土工学会編：土壤工学ハンドブック, P.154
- 技報堂, 1965. 4). Mesri, G. : Coefficient of Secondary Compression, ASCE, SM1, 1973
- 5). 安原：二次圧密による沈下と強度, 第36回国土工学会, 1983 6). 土工学会編：土壤試験法, P.400, 土工学会, 1979
- 7). 石井, 小川, 善：大阪湾泉州沖海底地盤の工学的性質「その2」, 港湾技術資料, NO. 498, 1984

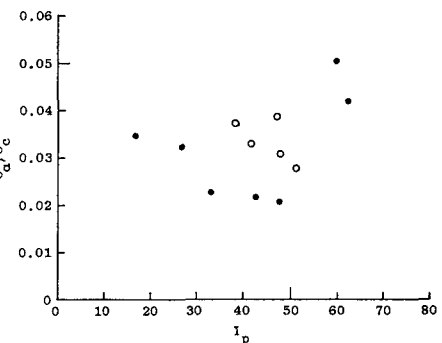


図-4 C_c/C_a と I_p の相関

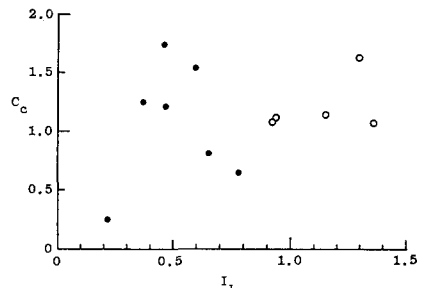


図-5 C_c と I_L の相関

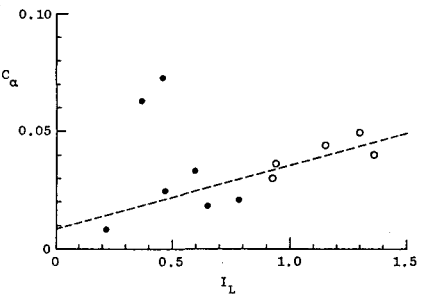


図-6 C_a と I_L の相関

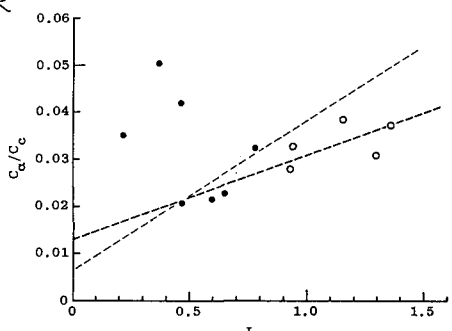


図-7 C_c/C_a と I_L の相関